

บทที่ 3

ทฤษฎีที่เกี่ยวข้อง

3.1 เครื่องมือทดสอบ Falling Weight Deflectometer (FWD)

เครื่องมือทดสอบ FWD จัดเป็นเครื่องมือทดสอบเพื่อประเมินสภาพถนนที่ได้รับความนิยมมากที่สุดในปัจจุบัน ตัวอย่างของเครื่องทดสอบชนิดนี้ ได้แก่ เครื่อง Dynatest FWD เครื่อง KUAB FWD และเครื่อง Phonix FWD ซึ่งในประเทศไทยโดยกรมทางหลวงได้รับมอบเครื่อง FWD รุ่น Dynatest 8000 จากประเทศเดนมาร์กตามโครงการออกแบบโครงสร้างถนนและประมาณความแข็งแรงของถนนโดยใช้เครื่อง FWD (ธีรชาติ พรหมศร, 2544) ลักษณะโดยทั่วไปและการใช้งานของเครื่อง FWD มีรายละเอียดดังต่อไปนี้

3.1.1 ลักษณะทั่วไป

เครื่อง FWD จะมีลักษณะเป็นรถพ่วงที่สามารถใช้รถตู้ลากไปในขณะปฏิบัติงานและสามารถวิ่งได้ด้วยความเร็วเทียบเท่าการจราจรโดยทั่วไป ตัวอย่างของเครื่อง FWD ที่นิยมใช้กันในแถบยุโรปและฝั่งอเมริกาแสดงไว้ในรูปที่ 3.1 ส่วนประกอบโดยรวมของเครื่อง FWD ซึ่งแสดงไว้ในรูปที่ 3.2 จะประกอบด้วยสองส่วนหลักที่สำคัญคือ

3.1.1.1 ส่วนที่ให้น้ำหนักกระทำ มีส่วนประกอบได้แก่ ก้อนน้ำหนัก แกนปล่อยน้ำหนัก แผ่นรองรับก้อนน้ำหนัก แผ่นโลหะถ่าน้ำหนัก และแผ่นยางกันกระแทกที่ทำหน้าที่คล้ายสปริง โดยเครื่องมือจะมีแท่นรองรับก้อนน้ำหนักที่สามารถเพิ่มลดจำนวนลงได้ โดยมีแกนปล่อยน้ำหนักที่ตั้งฉากกับผิวถนน อีกทั้งระยะความสูงในการปล่อยน้ำหนักก็สามารถปรับเปลี่ยนได้ตามความเหมาะสมกับสภาพถนนที่ต้องการตรวจสอบ โดยปกติความสูงในการปล่อยก้อนน้ำหนักจะสามารถปรับได้ในช่วงระหว่าง 2 ถึง 20 นิ้ว (Chang et al., 1992) สำหรับกลไกควบคุมการยกและปล่อยก้อนน้ำหนักบนแผ่นรองรับก้อนน้ำหนักนั้นเป็นระบบอิเล็กทรอนิกส์โดยระบบคอมพิวเตอร์ ทำให้ผู้ควบคุมสามารถจัดรูปแบบการให้น้ำหนักเพื่อให้เกิดแรงกระทำต่อโครงสร้างถนนตามความต้องการได้จากคีย์บอร์ดของเครื่องคอมพิวเตอร์เท่านั้น นอกจากนี้ในระหว่างการทดสอบระบบจะสามารถตรวจวัดแรง (ในหน่วยกิโลปาสคาล, kPa) ที่กระทำตั้งฉากกับแผ่นรองรับน้ำหนักได้อย่างถูกต้อง

3.1.1.2 ส่วนที่ใช้วัดสัญญาณเพื่อหาค่าการทรุดตัว (Geophone) เป็นส่วนที่สามารถทำการตรวจวัดค่าการทรุดตัว (ในหน่วยไมโครเมตร, μm) ที่เป็นผลจากแรงที่กระทำ โดยทั่วไปเครื่อง FWD จะประกอบด้วย Geophone ตั้งแต่ 7 ถึง 10 ตัวทำงานร่วมกัน โดยมี

Geophone หนึ่งตัวทำหน้าที่วัดค่าการทุดตัวของโครงสร้างถนนที่ตำแหน่งกึ่งกลางใต้จุดที่แรงทดสอบกระทำ ขณะที่ Geophone ตัวอื่นๆ ที่เหลือจะกระจายตัวเรียงกันบนแนวหน้าหรือหลัง Geophone ตัวแรก ขึ้นอยู่กับวัตถุประสงค์ของการทดสอบ แต่ละ Geophone จะถูกยึดติดกับแกนที่สามารถเลื่อนขึ้นลงโดยอัตโนมัติไปพร้อมกับแผ่นโลหะถ้ำน้ำหนัก สำหรับระยะห่างระหว่าง Geophone แต่ละตัวนั้นสามารถปรับเปลี่ยนได้ตามลักษณะการทดสอบ โดยปกติ Geophone แต่ละตัวจะมีระยะห่างกันประมาณ 30 เซนติเมตร

3.1.2 พฤติกรรมของโครงสร้างถนนขณะทดสอบ

ขณะทำการทดสอบด้วยเครื่อง FWD น้ำหนักกระทำชนิดแรงดลที่เกิดจากการปล่อยก้อนน้ำหนักให้ตกลงไปกระทบและถ่ายแรงผ่านไปยังชั้นถนนนั้น จะส่งผลให้เกิดคลื่นของความเครียด (Stress wave) คลื่นดังกล่าวจะเกิดการแผ่กระจายไปในโครงสร้างถนนโดยมีลักษณะเป็นรูปครึ่งทรงกลม ดังแสดงในรูปที่ 3.3 การแผ่กระจายของคลื่นจะนำพาเอาพลังงานเนื่องจากแรงกระทำไปยังส่วนต่างๆ ของโครงสร้าง ซึ่งพลังงานนี้เองเป็นสาเหตุให้เกิดการสั่นไหวที่ผิวของถนน

ลักษณะโดยทั่วไปของข้อมูลการทุดตัวที่ถูกบันทึกได้จากเครื่อง FWD แสดงไว้ในรูปที่ 3.4 เส้นกราฟแต่ละเส้นแสดงถึงค่าการทุดตัวที่เปลี่ยนแปลงไปตามเวลาของแต่ละ Geophone ในขณะที่ทำการทดสอบทั้งนี้ จะเห็นได้ว่าค่าการทุดตัวสูงสุดที่เกิดขึ้นในแต่ละ Geophone นั้นจะมีช่วงเวลาเกิดที่เหลื่อมล้ำกัน โดยค่าการทุดตัวสูงสุดจะเกิดขึ้นก่อนใน Geophone ที่อยู่ใกล้กับแรงกระทำ และเกิดขึ้นภายหลังใน Geophone ที่อยู่ห่างออกไปตามลำดับ สำหรับสาเหตุที่ทำให้เกิดการทุดตัวที่เหลื่อมล้ำกันนี้ เนื่องมาจากเวลาที่คลื่นจำเป็นต้องใช้ในการเคลื่อนที่จากจุดหนึ่งไปยังอีกจุดหนึ่ง

เมื่อพิจารณาค่าการทุดตัวที่ผิวบนของโครงสร้างถนนที่ระยะต่างๆ ในแต่ละเวลาดังในรูปที่ 3.5 จะพบว่ากราฟของการทุดตัวที่เกิดขึ้นจะเปลี่ยนแปลงไปในแต่ละเวลา โดยเส้นประจะแสดงถึงค่าการทุดตัวสูงสุดที่เกิดขึ้นในแต่ละตำแหน่งของผิวถนน ซึ่งค่าดังกล่าวจะถูกนำไปใช้ในการคำนวณย้อนกลับในเชิงสถิติ

3.1.3 ลักษณะการทำงาน

ในขณะที่ทำการทดสอบนั้นเครื่อง FWD จะปล่อยก้อนน้ำหนักเพื่อให้เกิดแรงทดสอบกระทำไปบนโครงสร้างถนนโดยการปล่อยน้ำหนักทดสอบที่ทราบขนาดจากระดับความสูงที่กำหนดไว้ สำหรับขนาดของแรงกระทำสูงสุดโดยปกติจะมีค่าตั้งแต่ 2,000 ปอนด์จนถึงมากกว่า

20,000 ปอนด์ ขึ้นอยู่กับประเภทและรุ่นของเครื่อง FWD แรงกระทำที่เกิดขึ้นจะมีลักษณะใกล้เคียงกับสัญญาณคลื่นรูป half-sine wave ในช่วงเวลาประมาณ 30 ถึง 40 มิลลิวินาที (Hossain, Zaniewski and Rajan, 1994; Sebaaly, Davis and Mamlouk, 1985) ก้อนน้ำหนักรถทดสอบจะตกลงกระแทกกับแผ่นรองรับที่เป็นยางโดยทำหน้าที่ย้ายสปริง (รูปที่ 3.2) ซึ่งขนาดของก้อนน้ำหนักรถทดสอบ ความสูงที่ปล่อยก้อนน้ำหนักรถ และคุณสมบัติของแผ่นยางรองรับต้องได้รับการออกแบบให้เหมาะสมเพราะเป็นส่วนสำคัญที่จะทำให้ได้ลักษณะแรงที่กระทำต่อโครงสร้างถนนมีขนาด รูปร่าง และช่วงเวลาของแรงกระทำที่เหมาะสมคล้ายคลึงกับลักษณะของแรงกระทำที่เกิดขึ้นเมื่อล้อรถบรรทุกหนักกระทำต่อโครงสร้างถนนขณะวิ่งผ่าน อย่างไรก็ตามในการทำงานทดสอบโดยใช้เครื่อง FWD นั้นค่าแรงกระทำสูงสุด จะได้รับการวัดและบันทึกโดยตัวควบคุมการให้น้ำหนัก (Load cell) ของเครื่อง FWD (รูปที่ 3.2)

ข้อมูลการทดสอบจากเครื่อง FWD สามารถใช้ในการจำลองรูปแบบของการหลุดตัวของโครงสร้างถนนเนื่องจากการจราจรได้ โดยได้มีการศึกษาทดสอบเปรียบเทียบผลที่ได้จากเครื่อง FWD กับผลที่เกิดจากสภาพน้ำหนักรถจริงที่กระทำกับถนนของล้อรถหนักที่สัญจรไปมาบนถนน ซึ่ง Tholen และคณะ (1992) ได้รายงานถึงความสอดคล้องกันเป็นอย่างดีระหว่างผลของค่าการหลุดตัวที่วัดได้จากเครื่อง FWD กับผลของค่าการหลุดตัวที่เกิดจากล้อรถหนักที่สัญจรไปมาบนถนนดังที่แสดงไว้ในรูปที่ 3.6 ซึ่งแสดงถึงลักษณะสัญญาณค่าการหลุดตัวจากเครื่อง FWD โดยทั่วไปซึ่งแสดงไว้เปรียบเทียบกับลักษณะสัญญาณค่าการหลุดตัวจากล้อรถหนักที่สัญจรไปมาบนถนน จะเห็นว่าผลสะท้อนที่ได้จากเครื่อง FWD นั้นไม่แตกต่างไปจากผลสะท้อนที่ได้จากล้อรถหนักที่สัญจรไปมาบนถนนนักจะมีก็แต่ว่าสัญญาณค่าการหลุดตัวของเครื่อง FWD นั้น มีช่วงเวลาระหว่างสัญญาณเพียง 0.025 วินาทีซึ่งสั้นกว่าช่วงเวลาระหว่างสัญญาณที่เกิดจากล้อรถ ยิ่งไปกว่านั้นการที่เครื่อง FWD สามารถปรับขนาดของน้ำหนักทดสอบได้ตั้งแต่เล็กน้อยไปจนถึงน้ำหนักที่มากในลักษณะ Overload นั้นเป็นข้อดีอีกประการหนึ่งที่ทำให้สามารถทดสอบประเมินสภาพความแข็งแรงของโครงสร้างถนนได้ในหลายรูปแบบ สำหรับข้อมูลที่ได้จากเครื่อง FWD นั้นจะเป็นชุดของค่าการหลุดตัวของโครงสร้างถนนที่วัดได้จากการปล่อยน้ำหนักในแต่ละจุดทดสอบ ซึ่งจะนำไปใช้ในการคำนวณค่าโมดูลัสยืดหยุ่นของวัสดุในแต่ละชั้นของโครงสร้างถนนต่อไป ในส่วนของการใช้เครื่อง FWD ตรวจสอบวัดสภาพความแข็งแรงของโครงสร้างถนนนั้นก่อนการทดสอบต้องตรวจให้แน่ใจด้วยว่าผิวรับสัญญาณของ Geophone สัมผัสกับผิวถนนได้เป็นอย่างดี หลังจากระบบได้รับสัญญาณที่อ่านได้จาก Geophone แล้วสัญญาณของค่าการหลุดตัวที่วัดได้จะได้รับการบันทึกโดยระบบเก็บข้อมูลคอมพิวเตอร์ที่ต่ออยู่กับ Geophones ในทางปฏิบัตินั้นผู้ควบคุมเครื่องเพียงหนึ่งคนสามารถควบคุมเครื่องผ่านระบบคอมพิวเตอร์จากภายในรถลากเครื่อง FWD จากนั้นเมื่อเครื่อง

FWD เคลื่อนมาถึงยังตำแหน่งที่ต้องการบนถนนที่จะทำการตรวจสอบ เครื่อง FWD ต้องหยุดเพื่อปล่อยก้อนน้ำหนักรวมทั้งวัดค่าการทรุดตัว โดยปกติจะทำการวัดค่าทุกระยะ 50 ถึง 100 เมตร โดยเวลาที่ใช้ในการทดสอบแต่ละจุดไม่เกิน 5 นาที

3.2 การคำนวณย้อนกลับ

ปัญหาที่ต้องใช้วิธีการคำนวณย้อนกลับส่วนใหญ่มักพบบ่อยครั้งในงานด้านวิทยาศาสตร์และวิศวกรรม โดยผลที่ได้จากการแก้ปัญหานี้มักจะเป็นค่าพารามิเตอร์ที่สามารถอธิบายพฤติกรรมของระบบได้ ลักษณะของปัญหาจะเป็นไปตามรูปที่ 3.7 ยกตัวอย่างเช่น ระบบการทดสอบออกแรงดึงสปริง ที่มีความสัมพันธ์ระหว่างแรงดึง (F) และการยืดตัว (x) คือ $F = kx$ เมื่อ k คือ ค่าคงที่ของสปริง โดยในปัญหานี้ต้องการจะทราบค่า พารามิเตอร์ k ที่จะสามารถอธิบายความสัมพันธ์ระหว่าง แรงดึงและระยะยืดของสปริงได้ จากปัญหาที่กล่าวมาเมื่อเปรียบเทียบกับรูปที่ 3.7 ค่าที่ป้อนเข้า (input) จะหมายถึง แรงดึงของสปริง ส่วนกระบวนการ (process) จะหมายถึง แบบจำลองของความสัมพันธ์ระหว่างแรงดึงและระยะยืดที่เกิดขึ้น ส่วนผลลัพธ์ (output) ของระบบจะหมายถึง ระยะยืดที่วัดได้จากเครื่องมือทดสอบ เมื่อทราบข้อมูลของค่าที่ป้อนเข้า (แรงดึง) และผลลัพธ์ที่ได้ (ระยะยืด) แล้วทำการเลือกกระบวนการหรือแบบจำลองที่เหมาะสม ($F = kx$) ก็จะสามารถวิเคราะห์หาคำตอบที่เป็นไปได้ของค่าพารามิเตอร์ (k) ที่จะอธิบายพฤติกรรมของระบบดังกล่าว

ในการคำนวณย้อนกลับเพื่อหาค่าคุณสมบัติของโครงสร้างถนนจากข้อมูลการทดสอบด้วยเครื่อง FWD ในลักษณะพลวัตนั้นได้แสดงไว้ในรูปที่ 3.8 โดยค่าที่ป้อนเข้าจะประกอบด้วย ข้อมูลของน้ำหนักกระทำ ตำแหน่งที่วัดการทรุด ค่าคุณสมบัติของวัสดุในแต่ละชั้นของถนน อันประกอบด้วย ค่าอัตราส่วนปัวซอง ความหนาแน่น ความหนาของชั้นถนน และค่าโมดูลัสเริ่มต้น ส่วนผลลัพธ์ที่ได้ออกมา คือ ค่าการทรุดตัวที่ตำแหน่งต่างๆ จากนั้นจึงทำการเลือกแบบจำลองของโครงสร้างถนนที่รับแรงกระทำแบบพลวัตและวิธีการแก้ปัญหาค่าเหมาะสมที่สุด ก็จะวิเคราะห์หาค่าโมดูลัสยืดหยุ่นของชั้นถนนออกมาได้

3.3 แบบจำลองของโครงสร้างถนนที่รับแรงกระทำแบบพลวัต

โครงสร้างถนนจะถูกจำลองให้มีลักษณะเป็นตัวกลางยืดหยุ่นหลายชั้น ที่ประกอบด้วยชั้นของวัสดุจำนวนหลายชั้นที่วางตัวอยู่บนชั้นดินยืดหยุ่น (รูปที่ 3.9 ก) หรือบนชั้นหินแข็ง (รูปที่ 3.9 ข) ในแต่ละชั้นของวัสดุจะพิจารณาเป็นตัวกลางยืดหยุ่นเนื้อเดียว ในการวิเคราะห์ปัญหาจะทำในลักษณะพลวัต โดยแรงที่มากระทำจะมีลักษณะเป็นแรงดล ที่สมมาตรรอบแกน (Axisymmetric

loading) และมีการกระจายอย่างสม่ำเสมอภายใต้แผ่นโลหะวงกลมที่ถายน้ำหนักกระทำจากเครื่อง FWD (รูปที่ 3.9) ในการศึกษาจะใช้แบบจำลองของวัสดุในแต่ละชั้นของโครงสร้างถนนเป็นชนิดยืดหยุ่นเชิงเส้น การที่ทำให้วัสดุมีพฤติกรรมเป็นเชิงเส้นได้เพราะในการทดสอบไม่ทำลายด้วยเครื่อง FWD จะให้น้ำหนักกระทำน้อย ซึ่งช่วงที่น้ำหนักกระทำดังกล่าว ความสัมพันธ์ระหว่างค่าความเค้นและความเครียดที่เกิดขึ้นจะประมาณได้ด้วยเส้นตรง

3.3.1 รูปคำตอบทั่วไป

การวิเคราะห์หาค่าการทรุดตัวของโครงสร้างถนนในลักษณะพลวัต เป็นอีกรูปแบบหนึ่งของกฎข้อที่สองของนิวตัน ในระบบทางกลศาสตร์ที่มีความต่อเนื่อง (Continuum mechanics) โดยกฎของนิวตันสามารถเขียนเป็นสมการ Navier's displacement equation of motion ที่แสดงความสัมพันธ์ของการเคลื่อนที่ดังนี้

$$(\lambda + \mu) \frac{\partial e}{\partial r} + \mu \nabla^2 u_r - \frac{u_r}{r} = \rho \ddot{u}_r \quad (3.1)$$

$$(\lambda + \mu) \frac{\partial e}{\partial z} + \mu \nabla^2 u_z = \rho \ddot{u}_z \quad (3.2)$$

$$\text{เมื่อ } e = \frac{\partial u_r}{\partial r} + \frac{u_r}{r} + \frac{\partial u_z}{\partial z} \quad (3.3)$$

$$\nabla^2 = \frac{\partial^2}{\partial r^2} + \frac{1}{r} \frac{\partial}{\partial r} + \frac{\partial^2}{\partial z^2} \quad (3.4)$$

เมื่อ u_r และ u_z คือ การเคลื่อนที่บนผิวถนนในทิศทางแกนรัศมี (r) และแกนตั้ง (z) ตามรูปที่ 3.9 ρ คือ ความหนาแน่นมวล (Mass density) λ และ μ คือ ค่าคงที่ Lamé's constants และเครื่องหมาย “ $\ddot{}$ ” ที่ปรากฏบนฟังก์ชัน หมายถึง การหาอนุพันธ์อันดับสองของฟังก์ชันเทียบกับเวลา

เนื่องจากสมมติฐานข้างต้นทำให้การเคลื่อนที่ในแนว θ หรือ u_θ ไม่เกิดขึ้น ในการหาผลเฉลยของการเคลื่อนที่ u_r และ u_z จะสามารถจัดให้อยู่ในรูปของ Lamé potentials $\phi(r, z, t)$ และ $\chi(r, z, t)$ ได้ดังนี้

$$u_r = \frac{\partial \phi}{\partial r} + \frac{\partial^2 \chi}{\partial r \partial z} \quad (3.5)$$

$$u_z = \frac{\partial \phi}{\partial z} - \frac{1}{r} \frac{\partial}{\partial r} \left(r \frac{\partial \chi}{\partial r} \right) \quad (3.6)$$

โดยการแทนค่าสมการที่ 3.5 และ 3.6 ลงในสมการที่ 3.1 และ 3.2 ก็จะได้ความสัมพันธ์ของ $\phi(r, z, t)$ และ $\chi(r, z, t)$ ดังนี้

$$c_1^2 \nabla^2 \phi = \ddot{\phi} \quad (3.7)$$

$$c_2^2 \nabla^2 \chi = \ddot{\chi} \quad (3.8)$$

$$c_1 = \sqrt{\frac{\lambda + 2\mu}{\rho}} \quad c_2 = \sqrt{\frac{\mu}{\rho}} \quad (3.9)$$

ในการหาผลเฉลยของสมการเชิงอนุพันธ์ดังสมการที่ 3.7 และ 3.8 เพื่อหาค่า Lamé potentials จะใช้วิธีการแปลงลาปลาซเพื่อแปลงเวลา (t) ให้อยู่ในโดเมนของลาปลาซ และวิธีการแปลงฮันเกลเพื่อแปลงระยะทาง (r) ให้อยู่ในโดเมนของฮันเกล

ให้การแปลงลาปลาซ (Laplace transform) ของฟังก์ชัน $y(r, z, t)$ เทียบกับตัวแปร t เขียนแทนด้วย $\bar{y}(r, z, p)$ และ

$$\bar{y}(r, z, p) = \int_0^{\infty} y(r, z, t) e^{-pt} dt \quad (3.10)$$

เมื่อ p คือ พารามิเตอร์ของการแปลงลาปลาซ (Laplace transform parameter) และเครื่องหมาย " $\bar{}$ " ที่ปรากฏบนฟังก์ชัน หมายถึง การแปลงฟังก์ชันดังกล่าวให้อยู่ในโดเมนของลาปลาซ

ให้การแปลงฮันเกล (Hankel transform) อันดับที่ m ของฟังก์ชัน $\bar{y}(r, z, p)$ เทียบกับตัวแปร r เขียนแทนด้วย $y^*(\xi, z, p)$ และ การหาส่วนผกผันของฮันเกล คือ

$$y^*(\xi, z, p) = \int_0^{\infty} r \bar{y}(r, z, p) J_m(\xi r) dr \quad (3.11)$$

$$\bar{y}(r, z, p) = \int_0^{\infty} \xi y^*(\xi, z, p) J_m(\xi r) d\xi \quad (3.12)$$

เมื่อ ξ คือ พารามิเตอร์ของการแปลงฮันเกล (Hankel transform parameter) และ J_m คือ ฟังก์ชันเบสเซลอันดับที่ m และเครื่องหมาย " $*$ " ที่ปรากฏบนฟังก์ชัน หมายถึง การแปลงฟังก์ชันดังกล่าวให้อยู่ในโดเมนของลาปลาซและฮันเกล

โดยใช้ การแปลงลาปลาซกับสมการที่ 3.7 และ 3.8 เทียบกับ t จะได้

$$\nabla^2 \bar{\phi} - k_1^2 \bar{\phi} = 0 \quad (3.13)$$

$$\nabla^2 \bar{\chi} - k_2^2 \bar{\chi} = 0 \quad (3.14)$$

เมื่อ $k_1 = \frac{P}{c_1} \quad k_2 = \frac{P}{c_2} \quad (3.15)$

ใช้วิธี Separation of variables กับสมการที่ 3.13 และ 3.14 โดยกำหนดให้ค่า Lamé potentials อยู่ในรูปผลคูณระหว่างฟังก์ชันของระยะทาง r หรือ $R(r)$ และฟังก์ชันของระยะในแนวตั้ง z หรือ $Z(z)$ ดังนี้

$$\phi(r, z, p) = R_1(r) Z_1(z) \quad (3.16)$$

$$\chi(r, z, p) = R_2(r) Z_2(z) \quad (3.17)$$

เมื่อแทนค่าสมการที่ 3.16 และ 3.17 ลงในสมการที่ 3.13 และ 3.14 จะได้สมการเชิงอนุพันธ์ของฟังก์ชัน $R_i(r)$ ดังสมการที่ 3.18

$$r \frac{d^2 R_i}{dr^2} + \frac{dR_i}{dr} - (k_i^2 - p)r R_i = 0 \quad (3.18)$$

โดย i เท่ากับ 1 และ 2 เมื่อพิจารณาสมการที่ 3.13 และ 3.14 ตามลำดับ

สมการที่ 3.18 จะอยู่ในรูปของสมการเชิงอนุพันธ์ของเบสเซลอันดับที่ศูนย์ เนื่องจากเป็นปัญหาที่มีการเคลื่อนที่สมมาตรรอบแกนตั้ง ดังนั้น ในการแปลงอันเกลดสมการที่ 3.11 กับสมการที่ 3.13 และ 3.14 จะใช้เบสเซลฟังก์ชันอันดับที่ศูนย์

โดยการทำการแปลงอันเกลดกับสมการที่ 3.13 และ 3.14 เทียบกับ r แล้วทำการแก้สมการเชิงอนุพันธ์และหาส่วนผกผันของอันเกลดสมการที่ 3.12 จะได้ผลเฉลยของ Lamé potentials ในโดเมนของลาปลาซ ดังนี้

$$\bar{\phi}(r, z, p) = \int_0^{\infty} [A(\xi, p)e^{-k_1 \alpha_1 z} + B(\xi, p)e^{k_2 \alpha_2 z}] J_0(\xi r) d\xi \quad (3.19)$$

$$\bar{\chi}(r, z, p) = \int_0^{\infty} [C(\xi, p)e^{-k_2 \alpha_2 z} + D(\xi, p)e^{k_1 \alpha_1 z}] J_0(\xi r) d\xi \quad (3.20)$$

โดย $k_2 \alpha_1 = \sqrt{\xi^2 + k_1^2} \quad k_1 \alpha_2 = \sqrt{\xi^2 + k_2^2} \quad (3.21)$

เมื่อ A, B, C และ D เป็นฟังก์ชันค่าเลือก (Arbitrary functions) ที่สอดคล้องกับเงื่อนไขค่าขอบและเงื่อนไขความต่อเนื่อง (Boundary/continuity condition)

จากสมการที่ 3.3 3.4 3.19 และ 3.20 จะได้ผลเฉลยของการเคลื่อนที่ u_r และ u_z ในโดเมนของลาปลาซดังนี้

$$\bar{u}_r = \int_0^\infty \left[-\xi A e^{-k_2 \alpha_1 z} - \xi B e^{k_2 \alpha_1 z} + k_2 \alpha_2 \xi C e^{-k_2 \alpha_2 z} - k_2 \alpha_2 \xi D e^{k_2 \alpha_2 z} \right] J_1(\xi r) d\xi \quad (3.22)$$

$$\bar{u}_z = \int_0^\infty \left[-k_2 \alpha_1 A e^{-k_2 \alpha_1 z} + k_2 \alpha_1 B e^{k_2 \alpha_1 z} + \xi^2 C e^{-k_2 \alpha_2 z} + \xi^2 D e^{k_2 \alpha_2 z} \right] J_0(\xi r) d\xi \quad (3.23)$$

โดยค่าความเค้น σ_{rz} และ σ_{zz} สามารถหาได้จากความสัมพันธ์ดังนี้

$$\sigma_{rz} = \mu \left(\frac{\partial u_z}{\partial r} + \frac{\partial u_r}{\partial z} \right) \quad (3.24)$$

$$\sigma_{zz} = \frac{\lambda}{r} \frac{\partial(r u_r)}{\partial r} + (\lambda + 2\mu) \frac{\partial u_z}{\partial z} \quad (3.25)$$

ใช้การแปลงลาปลาซกับสมการที่ 3.24 และ 3.25 และจากสมการที่ 3.22 และ 3.23 จะได้ผลเฉลยของค่าความเค้น $\bar{\sigma}_{rz}$ และ $\bar{\sigma}_{zz}$ ที่สอดคล้องกับการเคลื่อนที่ u_r และ u_z ตามลำดับในโดเมนของลาปลาซดังนี้

$$\bar{\sigma}_{rz} = \mu \int_0^\infty \left[2k_2 \alpha_1 A e^{-k_2 \alpha_1 z} - 2k_2 \alpha_1 B e^{k_2 \alpha_1 z} - (2\xi^2 + k_2^2) C e^{-k_2 \alpha_2 z} - (2\xi^2 + k_2^2) D e^{k_2 \alpha_2 z} \right] \xi J_1(\xi r) d\xi \quad (3.26)$$

$$\bar{\sigma}_{zz} = \mu \int_0^\infty \left[(2\xi^2 + k_2^2) A e^{-k_2 \alpha_1 z} + (2\xi^2 + k_2^2) B e^{k_2 \alpha_1 z} - 2k_2 \alpha_2 \xi^2 C e^{-k_2 \alpha_2 z} + 2k_2 \alpha_2 \xi^2 D e^{k_2 \alpha_2 z} \right] J_0(\xi r) d\xi \quad (3.27)$$

เพื่อให้ผลเฉลยอยู่ในรูปที่ง่ายขึ้นจะพิจารณาฟังก์ชันของการเคลื่อนที่และความเค้นให้อยู่ในโดเมนของลาปลาซและฮันเกลซึ่งจะไม่อยู่ในรูปของปริพันธ์ โดยการพิจารณาเปรียบเทียบการหาส่วนผกผันของฮันเกลกับการเคลื่อนที่และความเค้นที่อยู่ในโดเมนของลาปลาซและฮันเกลดังนี้

$$\bar{u}_r(r, z, p) = \int_0^\infty u_r^*(\xi, z, p) J_1(\xi r) \xi d\xi \quad (3.28)$$

$$\bar{u}_z(r, z, p) = \int_0^{\infty} u_z^*(\xi, z, p) J_0(\xi r) \xi d\xi \quad (3.29)$$

$$\bar{\sigma}_{zr}(r, z, p) = \int_0^{\infty} \sigma_{zr}^*(\xi, z, p) J_1(\xi r) \xi d\xi \quad (3.30)$$

$$\bar{\sigma}_{zz}(r, z, p) = \int_0^{\infty} \sigma_{zz}^*(\xi, z, p) J_0(\xi r) \xi d\xi \quad (3.31)$$

พิจารณาค่าปริพันธ์ของสมการที่ 3.22 3.23 3.26 และ 3.27 เปรียบเทียบสมการที่ 3.28 3.29 3.30 และ 3.31 ตามลำดับ จะได้รูปคำตอบทั่วไปของการเคลื่อนที่และความเค้นในโดเมนของลาปลาซและฮันเกิลดังนี้

$$u_z^*(\xi, z, p) = -Ae^{-k_2\alpha_1 z} - Be^{k_2\alpha_1 z} + k_2\alpha_2 Ce^{-k_2\alpha_2 z} - k_2\alpha_2 De^{k_2\alpha_2 z} \quad (3.32)$$

$$u_r^*(\xi, z, p) = -\frac{k_2}{\xi} \alpha_1 A e^{-k_2\alpha_1 z} + \frac{k_2}{\xi} \alpha_1 B e^{k_2\alpha_1 z} + \xi C e^{-k_2\alpha_2 z} + \xi D e^{k_2\alpha_2 z} \quad (3.33)$$

$$\sigma_{zr}^*(\xi, z, p) = \mu \left[2k_2\alpha_1 A e^{-k_2\alpha_1 z} - 2k_2\alpha_1 B e^{k_2\alpha_1 z} - (2\xi^2 + k_2^2) C e^{-k_2\alpha_2 z} - (2\xi^2 + k_2^2) D e^{k_2\alpha_2 z} \right] \quad (3.34)$$

$$\sigma_{zz}^*(\xi, z, p) = \frac{\mu}{\xi} \left[(2\xi^2 + k_2^2) A e^{-k_2\alpha_1 z} + (2\xi^2 + k_2^2) B e^{k_2\alpha_1 z} - 2k_2\alpha_2 \xi^2 C e^{-k_2\alpha_2 z} + 2k_2\alpha_2 \xi^2 D e^{k_2\alpha_2 z} \right] \quad (3.35)$$

ซึ่งสามารถจัดสมการที่ 3.32 ถึง 3.35 ได้ในรูปเมทริกซ์ดังนี้

$$\mathbf{u}^*(\xi, z, p) = \mathbf{R}(\xi, z, p) \mathbf{C}(\xi, p) \quad (3.36)$$

$$\boldsymbol{\sigma}^*(\xi, z, p) = \mathbf{S}(\xi, z, p) \mathbf{C}(\xi, p) \quad (3.37)$$

เมื่อ
$$\mathbf{u}^*(\xi, z, p) = \begin{bmatrix} u_r^* & u_z^* \end{bmatrix} \quad (3.38)$$

$$\boldsymbol{\sigma}^*(\xi, z, p) = \begin{bmatrix} \sigma_{zr}^* & \sigma_{zz}^* \end{bmatrix} \quad (3.39)$$

$$\mathbf{C}(\xi, p) = \begin{bmatrix} A & B & C & D \end{bmatrix} \quad (3.40)$$

โดย

$$\mathbf{R}(\xi, z, p) = \begin{bmatrix} -e^{-k_2\alpha_1 z} & -e^{k_2\alpha_1 z} & k_2\alpha_2 e^{-k_2\alpha_2 z} & -k_2\alpha_2 e^{k_2\alpha_2 z} \\ \frac{-k_2\alpha_1 e^{-k_2\alpha_1 z}}{\xi} & \frac{k_2\alpha_1 e^{k_2\alpha_1 z}}{\xi} & \xi e^{-k_2\alpha_2 z} & \xi e^{k_2\alpha_2 z} \end{bmatrix} \quad (3.41)$$

$$\mathbf{S}(\xi, z, p) = \mu \begin{bmatrix} 2k_2\alpha_1 e^{-k_2\alpha_1 z} & -2k_2\alpha_1 e^{k_2\alpha_1 z} & -(2\xi^2 + k_2^2)e^{-k_2\alpha_2 z} & -(2\xi^2 + k_2^2)e^{k_2\alpha_2 z} \\ \frac{(2\xi^2 + k_2^2)e^{-k_2\alpha_1 z}}{\xi} & \frac{(2\xi^2 + k_2^2)e^{k_2\alpha_1 z}}{\xi} & -2k_2\alpha_2 \xi e^{-k_2\alpha_2 z} & 2k_2\alpha_2 \xi e^{k_2\alpha_2 z} \end{bmatrix} \quad (3.42)$$

สัญลักษณ์ T ที่ปรากฏ หมายถึง ทราנסโพสของเมทริกซ์

3.3.2 สมการสติเฟเนสมเมทริกซ์

พิจารณาแบบจำลองโครงสร้างชั้นถนนที่มี N ชั้นตามรูปที่ 3.9 ในกรณีนี้เราจะสามารถแบ่งชั้นของโครงสร้างถนนได้เป็น 2 ส่วนด้วยกันคือ ส่วนที่เป็นชั้นที่มีความลึกจำกัด (จำนวน N ชั้น) และส่วนที่เป็นชั้นดินยึดหยุ่นที่มีความลึกอนันต์ (ชั้นที่ $N+1$ ในรูปที่ 3.9 ก) พิจารณาความสัมพันธ์ของการทรุดตัวและความเค้นที่ผิวบนและล่างของชั้นที่มีความลึกจำกัดชั้นที่ n ($n = 1, 2, 3, \dots, N$) จะได้รับความสัมพันธ์จากสมการที่ 3.36 และ 3.37 เป็นดังนี้

$$\mathbf{U}_n^* = \begin{bmatrix} \mathbf{R}_n(\xi, z_n, p) \\ \dots \\ \mathbf{R}_n(\xi, z_{n+1}, p) \end{bmatrix} \mathbf{C}_n \quad \text{หรือ} \quad \mathbf{U}_n^* = \mathbf{R}_n \mathbf{C}_n \quad (3.43)$$

$$\mathbf{F}_n^* = \begin{bmatrix} -\mathbf{S}_n(\xi, z_n, p) \\ \dots \\ \mathbf{S}_n(\xi, z_{n+1}, p) \end{bmatrix} \mathbf{C}_n \quad \text{หรือ} \quad \mathbf{F}_n^* = \mathbf{S}_n \mathbf{C}_n \quad (3.44)$$

$$\text{เมื่อ} \quad \mathbf{U}_n^* = [\mathbf{u}_n^*(\xi, z_n, p) \quad \mathbf{u}_n^*(\xi, z_{n+1}, p)]^T \quad (3.45)$$

$$\mathbf{F}_n^* = [\boldsymbol{\sigma}_n^*(\xi, z_n, p) \quad \boldsymbol{\sigma}_n^*(\xi, z_{n+1}, p)]^T \quad (3.46)$$

ในสมการข้างต้น \mathbf{U}_n^* และ \mathbf{F}_n^* เป็นเวกเตอร์ของค่าการทรุดตัวและหน่วยแรงที่ผิวบนและล่างของแต่ละชั้นตามลำดับ ส่วนค่า \mathbf{C}_n ในสมการที่ 3.43 และ 3.44 เป็นเวกเตอร์ของฟังก์ชันค่าเลือกที่สอดคล้องในแต่ละชั้น จากการจัดรูปสมการที่ 3.43 และ 3.44 ใหม่จะได้รับความสัมพันธ์ระหว่าง \mathbf{U}_n^* และ \mathbf{F}_n^* ดังนี้

$$\mathbf{F}_n^* = \mathbf{K}_n^* \mathbf{U}_n^* \quad (n = 1, 2, 3, \dots, N) \quad (3.47)$$

$$\text{โดยที่ } \mathbf{K}_n^* = \mathbf{S}_n \mathbf{R}_n^{-1} \quad (3.48)$$

เมื่อ

$$\mathbf{R}_n(\xi, z, p) = \begin{bmatrix} -e^{-k_2\alpha_1 z_n} & -e^{k_2\alpha_1 z_n} & k_2\alpha_2 e^{-k_2\alpha_2 z_n} & -k_2\alpha_2 e^{k_2\alpha_2 z_n} \\ \frac{-k_2\alpha_1 e^{-k_2\alpha_1 z_n}}{\xi} & \frac{k_2\alpha_1 e^{k_2\alpha_1 z_n}}{\xi} & \xi e^{-k_2\alpha_2 z_n} & \xi e^{k_2\alpha_2 z_n} \\ -e^{-k_2\alpha_1 z_{n+1}} & -e^{k_2\alpha_1 z_{n+1}} & k_2\alpha_2 e^{-k_2\alpha_2 z_{n+1}} & -k_2\alpha_2 e^{k_2\alpha_2 z_{n+1}} \\ \frac{-k_2\alpha_1 e^{-k_2\alpha_1 z_{n+1}}}{\xi} & \frac{k_2\alpha_1 e^{k_2\alpha_1 z_{n+1}}}{\xi} & \xi e^{-k_2\alpha_2 z_{n+1}} & \xi e^{k_2\alpha_2 z_{n+1}} \end{bmatrix} \quad (3.49)$$

$$\mathbf{S}_n(\xi, z, p) = \mu \begin{bmatrix} -2k_2\alpha_1 e^{-k_2\alpha_1 z_n} & 2k_2\alpha_1 e^{k_2\alpha_1 z_n} & (2\xi^2 + k_2^2)e^{-k_2\alpha_2 z_n} & (2\xi^2 + k_2^2)e^{k_2\alpha_2 z_n} \\ \frac{(2\xi^2 + k_2^2)e^{-k_2\alpha_1 z_n}}{\xi} & -\frac{(2\xi^2 + k_2^2)e^{k_2\alpha_1 z_n}}{\xi} & 2k_2\alpha_2 \xi e^{-k_2\alpha_2 z_n} & -2k_2\alpha_2 \xi e^{k_2\alpha_2 z_n} \\ 2k_2\alpha_1 e^{-k_2\alpha_1 z_{n+1}} & -2k_2\alpha_1 e^{k_2\alpha_1 z_{n+1}} & -(2\xi^2 + k_2^2)e^{-k_2\alpha_2 z_{n+1}} & -(2\xi^2 + k_2^2)e^{k_2\alpha_2 z_{n+1}} \\ \frac{(2\xi^2 + k_2^2)e^{-k_2\alpha_1 z_{n+1}}}{\xi} & -\frac{(2\xi^2 + k_2^2)e^{k_2\alpha_1 z_{n+1}}}{\xi} & -2k_2\alpha_2 \xi e^{-k_2\alpha_2 z_{n+1}} & 2k_2\alpha_2 \xi e^{k_2\alpha_2 z_{n+1}} \end{bmatrix} \quad (3.50)$$

เมื่อ \mathbf{K}_n^* ในสมการที่ 3.47 และ 3.48 คือ สติเฟเนสมเมทริกซ์ของชั้นที่ n ซึ่ง \mathbf{K}_n^* จะเป็นเมทริกซ์สมมาตรขนาด 4×4 และขึ้นอยู่กับ ความหนาของชั้น ค่าคุณสมบัติของวัสดุ และค่าพารามิเตอร์ ξ และ p

สำหรับความสัมพันธ์ของการหลุดตัวและความเค้นที่ผิวบนของชั้นที่มีความลึกลอนันต์ (ชั้นกึ่งปริภูมิ) หรือชั้นที่ $N+1$ (รูปที่ 3.9 ก) เป็นดังนี้

$$\mathbf{F}_{N+1}^* = \mathbf{K}_{N+1}^* \mathbf{U}_{N+1}^* \quad (3.51)$$

$$\text{เมื่อ } \mathbf{U}_{N+1}^* = [\mathbf{u}_{N+1}^*(\xi, z_{N+1}, p)]^T \quad (3.52)$$

$$\mathbf{F}_{N+1}^* = [\boldsymbol{\sigma}_{N+1}^*(\xi, z_{N+1}, p)]^T \quad (3.53)$$

และโดยเงื่อนไขสภาพขอบ ที่ความลึกลอนันต์นั้น การหลุดตัวและความเค้นจะมีค่าเท่ากับศูนย์ นั่นคือ ค่า B และ D ในสมการที่ 3.32 ถึง 3.35 จะเท่ากับศูนย์ จะได้

$$\mathbf{R}_{N+1}(\xi, z, p) = \begin{bmatrix} -e^{-k_2\alpha_1 z_{N+1}} & k_2\alpha_2 e^{-k_2\alpha_2 z_{N+1}} \\ \frac{-k_2\alpha_1 e^{-k_2\alpha_1 z_{N+1}}}{\xi} & \xi e^{-k_2\alpha_2 z_{N+1}} \end{bmatrix} \quad (3.54)$$

$$S_{N+1}(\xi, z, p) = \mu \begin{bmatrix} -2k_2\alpha_1 e^{-k_2\alpha_1 z_{N+1}} & (2\xi^2 + k_2^2)e^{-k_2\alpha_2 z_{N+1}} \\ \frac{(2\xi^2 + k_2^2)e^{-k_2\alpha_1 z_{N+1}}}{\xi} & 2k_2\alpha_2 \xi e^{-k_2\alpha_2 z_{N+1}} \end{bmatrix} \quad (3.55)$$

และ $K_{N+1}^* = S_{n+1} R_{N+1}^{-1}$ (3.56)

นั่นคือ

$$K_{N+1}^* = \frac{\mu}{k_2^2\alpha_1\alpha_2 - \xi^2} \begin{bmatrix} k_2^3\alpha_1 & \xi(2k_2^2\alpha_1\alpha_2 - 2\xi^2 - k_2^2) \\ \xi(2k_2^2\alpha_1\alpha_2 - 2\xi^2 - k_2^2) & k_2^3\alpha_{21} \end{bmatrix} \quad (3.57)$$

จะเห็นได้ว่าสตีเฟเนสเมทริกซ์ของชั้นที่ $N+1$ หรือ K_{N+1}^* นั้นจะเป็นเมทริกซ์สมมาตรขนาด 2×2 และขึ้นอยู่กับค่าคุณสมบัติของวัสดุ และค่าพารามิเตอร์ ξ และ p เท่านั้น

จากนั้นก็ทำการรวมสตีเฟเนสเมทริกซ์ในแต่ละชั้น ก็จะได้สตีเฟเนสเมทริกซ์รวมของทั้งโครงสร้าง คือ

$$\begin{pmatrix} F^{(1)} \\ F^{(2)} \\ \vdots \\ F^{(N)} \\ F^{(N+1)} \end{pmatrix} = \begin{pmatrix} \boxed{K^{(1)}} & & & & & \\ & \boxed{K^{(2)}} & & & & \\ & & \ddots & & & \\ & & & \boxed{K^{(N)}} & & \\ & & & & \boxed{K^{(N+1)}} & \end{pmatrix} \begin{pmatrix} U^{(1)} \\ U^{(2)} \\ \vdots \\ U^{(N)} \\ U^{(N+1)} \end{pmatrix} \quad (3.58)$$

สำหรับค่าหน่วยแรงทางด้านซ้ายมือของสมการที่ 3.58 นั้น $F^{(1)}$ จะมีค่าเท่ากับหน่วยแรงที่กระทำที่ผิวบนของโครงสร้างถนนซึ่งประกอบด้วยความเค้นในแนวตั้งจากกับผิวถนนที่มีค่าเท่ากับความเค้นเนื่องจากน้ำหนักทดสอบจากเครื่อง FWD และความเค้นเฉือนที่มีค่าเป็นศูนย์ ส่วน F อื่นๆ จะเท่ากับศูนย์เพราะไม่มีแรงกระทำภายนอกที่ผิวรอยต่อระหว่างชั้นของถนน

จาก K_n^* ของทุกชั้น และ K_{N+1}^* จะสามารถสร้างโกลบอลสตีเฟเนสเมทริกซ์ (Global Stiffness Matrix) ที่มีขนาด $2(N+1) \times 2(N+1)$ กรณีที่โครงสร้างชั้นถนนวางอยู่บนชั้นดินยืดหยุ่น และมีขนาด $2N \times 2N$ กรณีที่โครงสร้างชั้นถนนวางอยู่บนชั้นหินแข็ง

เพื่อให้การทดสอบด้วยเครื่อง FWD มีความสอดคล้องกันกับสมมติฐานของงานวิจัย ที่สมมติให้ตัวกลางยืดหยุ่นหลายชั้นมีอาณาบริเวณของเนื้อวัสดุทางด้านข้างขยายออกไปอย่างไม่จำกัดนั้น ก็ควรจะทำการทดสอบที่ตำแหน่งห่างออกมาจากขอบของถนน เป็นระยะทางไม่น้อย

กว่าระยะทางระหว่างตำแหน่งที่ให้น้ำหนักกระทำกับตำแหน่งของ Geophone ตัวที่อยู่ไกลที่สุด เพื่อไม่ให้เกิดความคลาดเคลื่อนเนื่องจากผลของการสะท้อนของคลื่นในขณะทดสอบ ความคลาดเคลื่อนดังกล่าวจะไม่เกิดขึ้นในกรณีที่ทดสอบกับโครงสร้างขนาดใหญ่ เช่น สนามบิน เป็นต้น

3.3.3 วิธีการหาส่วนผกผันของลาปลาซเชิงตัวเลข (Numerical Laplace Inversion)

ค่าการทรุดตัวที่คำนวณได้ในโดเมนของลาปลาซจากจากวิธีการข้างต้นนั้นจะถูกแปลงให้อยู่ในโดเมนของเวลา โดยใช้วิธีการหาส่วนผกผันของลาปลาซเชิงตัวเลข เนื่องจากไม่สามารถทำการหาปริพันธ์โดยตรงเพื่อหาส่วนผกผันของลาปลาซได้ วิธีการหาส่วนผกผันของลาปลาซเชิงตัวเลขที่มีผู้เสนอและเป็นที่นิยมใช้กันมีอยู่หลายวิธี (Davies and Martin, 1979) เช่น

Widder (1934)

$$f(t) \approx I_n(t) \quad (3.59)$$

$$I_n(t) = (-1)^n n^{n+1} (n!)^{-1} t^{-(n+1)} \bar{f}^{(n)}(n/t) \quad (3.60)$$

$$\bar{f}^{(n)}(n/t) = \frac{d^n \bar{f}(n/t)}{d t^n} \quad (3.61)$$

n คือ จำนวนเต็มบวกถ้ามีค่ามากจะมีความถูกต้องมากขึ้น

Haar (1951)

$$f(t) \approx p \bar{f}(p) \quad (3.62)$$

$$p = \frac{1}{t} \quad (3.63)$$

Shapery (1962)

$$f(t) \approx p \bar{f}(p) \quad (3.64)$$

$$p = \frac{0.5}{t} \quad (3.65)$$

Stehfest (1970)

$$f(t) \approx \frac{\ln 2}{t} \sum_{n=1}^N C_n \bar{f}\left(\frac{n \ln 2}{t}\right) \quad (3.66)$$

$$C_n = (-1)^{n+\frac{N}{2}} \frac{k^{\frac{N}{2}} (2k)!}{\sum_{k=[(n+1)/2]}^{\min(n, N/2)} \left(\frac{N}{2} - k\right)! k! (k-1)! (n-k)! (2k-n)!} \quad (3.67)$$

N คือ จำนวนเต็มคู่มีค่าอยู่ในช่วง 6-14 โดยประมาณ การเลือกใช้จะขึ้นอยู่กับปัญหา ซึ่งต้องทำการพิจารณา เช่น ปัญหาแก๊สสถิต N มีค่าเท่ากับ 6 โดยประมาณ

จากวิธีการหาส่วนผกผันของลาปลาซเชิงตัวเลขข้างต้น วิธีของ Widder จำเป็นต้องหาค่าอนุพันธ์ของฟังก์ชันอันดับที่ n ซึ่งวิธีนี้จะเหมาะสมกับปัญหาในลักษณะพลวัตเมื่อค่า n ที่เลือกใช้มีค่าเข้าสู่อนันต์ทำให้ใช้เวลาในการคำนวณมากโดยเฉพาะอย่างยิ่งเมื่อฟังก์ชันมีความซับซ้อนมาก ส่วนวิธีของ Haar และ Shapery สามารถทำได้โดยง่ายแต่จะเหมาะสมกับปัญหากึ่งสถิต (Quasi Static Problems) สำหรับวิธีของ Stehfest จะเริ่มมีความยุ่งยากมากขึ้นแต่วิธีนี้สามารถใช้กับปัญหาในลักษณะพลวัตได้ โดยในวิทยานิพนธ์ฉบับนี้ได้พิจารณาเลือกใช้วิธีการของ Stehfest ทั้งนี้ได้แสดงผลการคำนวณเชิงตัวเลขไว้ในบทที่ 4

3.3.4 การหาค่าที่เหมาะสมที่สุด (Optimization Method)

ในการคำนวณย้อนกลับนั้นมีวัตถุประสงค์เพื่อหาค่าโมดูลัสยืดหยุ่นของโครงสร้างถนนที่จะสามารถอธิบายพฤติกรรมของโครงสร้างถนนได้ดีที่สุด การพิจารณาว่าค่าโมดูลัสยืดหยุ่นที่ใช้ในแบบจำลองให้ค่าการทรุดตัวที่คำนวณได้ใกล้เคียงกับผลการทดสอบเพียงใดนั้นจำเป็นต้องสร้างฟังก์ชันจุดประสงค์ที่แสดงถึงความแตกต่างของค่าการทรุดตัวที่คำนวณได้กับค่าที่ได้จากการทดสอบขึ้นมา จากนั้นจึงใช้กระบวนการแก้ปัญหาที่เหมาะสมที่สุดเพื่อหาค่าโมดูลัสยืดหยุ่นที่เป็นคำตอบ ซึ่งทำให้ค่าที่ได้จากฟังก์ชันจุดประสงค์มีค่าน้อยที่สุด โดยฟังก์ชันจุดประสงค์ที่ใช้ในวิทยานิพนธ์นี้ เรียกว่า ผลรวมของผลต่างสัมพัทธ์กำลังสอง (Sum of square relative differences)

$$f(\mathbf{x}) = \frac{1}{n} \sum_{i=1}^n \left[\frac{d_i^c(\mathbf{x}) - d_i^m}{d_i^m} \right]^2 \quad (3.68)$$

เมื่อ $d_i^c(\mathbf{x})$ คือ ค่าการทรุดตัวที่คำนวณได้จากแบบจำลองโดยใช้ค่า \mathbf{x}

\mathbf{x} คือ ค่าโมดูลัสยืดหยุ่นและความหนาที่ไม่ทราบค่า

$$\mathbf{x} = \{E_1, h_1, E_2, h_2, E_3, h_3, \dots, E_M, h_M\}$$

d_i^m คือ ค่าการทรุดตัวที่บันทึกได้จากการทดสอบ ค่าที่ i

M คือ จำนวนชั้นของโครงสร้างถนน

n คือ จำนวนข้อมูลการทรุดตัวที่บันทึกได้และนำมาใช้ในการคำนวณย้อนกลับ

สำหรับการเลือกฟังก์ชันวัตถุประสงค์ดังกล่าวนี้ ได้พิจารณาถึงวิธีการแก้ปัญหาที่เหมาะสมที่สุดร่วมด้วย ซึ่งปกติแล้ววิธีหาค่าเหมาะสมที่สุดมักจะใช้อนุพันธ์อันดับหนึ่งของฟังก์ชันในการแก้ปัญหา และโดยการพิจารณาค่าความคลาดเคลื่อนแบบสุ่ม (Random error) ของเครื่อง FWD Sivanneswaran et al. (1991) พบว่าสมการที่ 3.68 เหมาะที่จะใช้ในปัญหาการคำนวณย้อนกลับจากข้อมูลการทดสอบด้วยเครื่อง FWD

การคำนวณย้อนกลับเพื่อหาค่าโมดูลัสยืดหยุ่น ของวัสดุในแต่ละชั้นของโครงสร้าง ถนนจะใช้หลักการของ nonlinear least square optimization โดยใช้วิธี Modified Levenberg-Marquardt Algorithm (Dennis and Schnabel 1983) โดยวิธีดังกล่าวได้ประยุกต์ มาจากวิธีของนิวตันโดยได้รวมเอาข้อดีของวิธีของนิวตัน (Newton's method) กับวิธี Gradient method มาไว้ด้วยกัน คือ ในการวิเคราะห์จะมีการลู่เข้าสู่คำตอบได้อย่างรวดเร็วซึ่งเป็นข้อดีของ วิธีของนิวตัน และมีความสามารถวิเคราะห์หาค่าสูงสุดหรือต่ำสุดสมบูรณ์ได้เป็นอย่างดีซึ่งเป็น ข้อดีของวิธี Gradient method (Polyak, 1987) สำหรับหลักการวิเคราะห์นั้น จะพิจารณาให้ ฟังก์ชัน f ใดๆ สามารถกระจายให้อยู่ในรูปอนุกรมของเทย์เลอร์ (Taylor series) และโดยการ ประมาณค่าจะสามารถจัด f ให้อยู่ในรูปของ Quadratic form ได้ดังนี้

$$f(\mathbf{x}) = f(\mathbf{x}_0) + (\nabla f(\mathbf{x}_0))^T \cdot (\mathbf{x} - \mathbf{x}_0) + \frac{1}{2}(\mathbf{x} - \mathbf{x}_0)^T \cdot \mathbf{H} \cdot (\mathbf{x} - \mathbf{x}_0) \quad (3.69)$$

เมื่อ \mathbf{x} คือ เวกเตอร์ของตัวแปรอิสระ \mathbf{x}_0 เวกเตอร์ค่าเริ่มต้นของตัวแปรอิสระ ∇ คือ สัญลักษณ์ของเกรเดียน หรือเวกเตอร์ของค่าอนุพันธ์อันดับหนึ่งของฟังก์ชัน \mathbf{H} คือ Hessian matrix หรือ เมทริกซ์ของอนุพันธ์อันดับสองของฟังก์ชัน

พิจารณาค่าเกรเดียนของฟังก์ชันจากสมการที่ 3.69 จะได้

$$\nabla f(\mathbf{x}) = \nabla f(\mathbf{x}_0) + \mathbf{H} \cdot (\mathbf{x} - \mathbf{x}_0) \quad (3.70)$$

โดยวิธีของนิวตัน จะกำหนดให้ $\nabla f(\mathbf{x})$ เท่ากับศูนย์ก็จะได้ค่า \mathbf{x} ในการคำนวณซ้ำ รอบถัดไป นั่นคือ

$$\mathbf{x} = \mathbf{x}_0 - \mathbf{H}^{-1} \cdot \nabla f(\mathbf{x}_0) \quad (3.71)$$

สำหรับวิธี Levenberg-Marquardt Method ได้พัฒนาสมการที่ 3.71 โดยปรับปรุงค่า \mathbf{H} ใหม่ ดังนี้

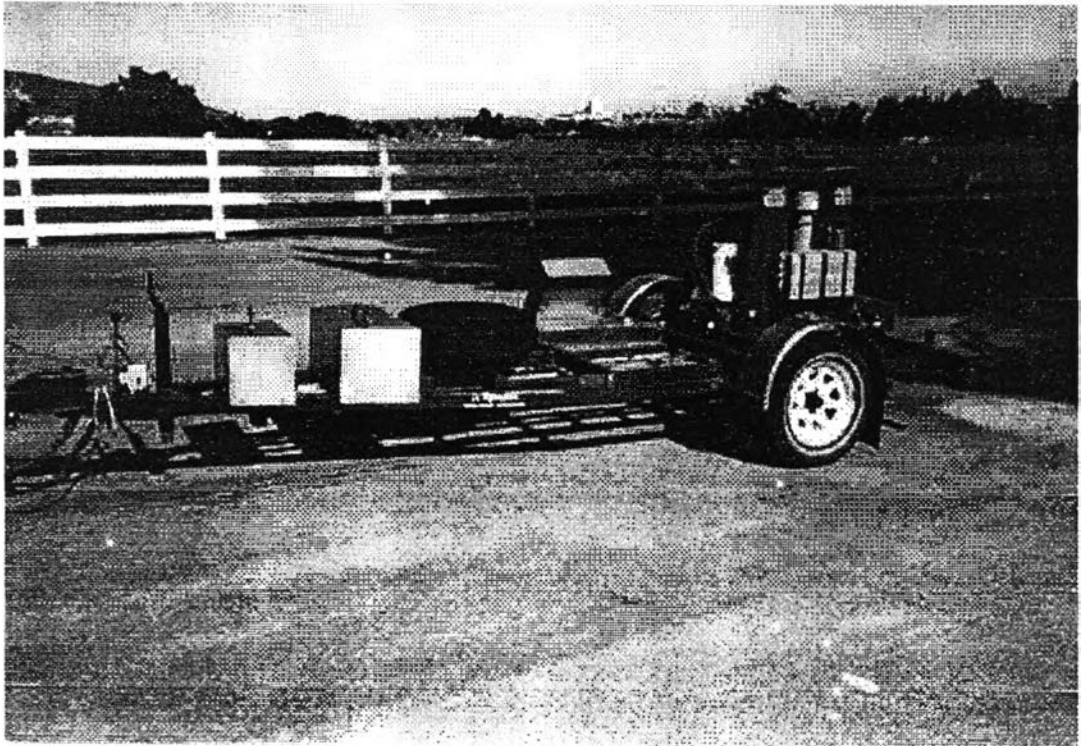
$$\mathbf{x} = \mathbf{x}_0 - (\mathbf{H} + \alpha \mathbf{I})^{-1} \cdot \nabla f(\mathbf{x}_0) \quad (3.72)$$

เมื่อ \mathbf{I} คือ เมทริกซ์เอกลักษณ์ และ α คือ Levenberg-Marquardt parameter ($\alpha \geq 0$)

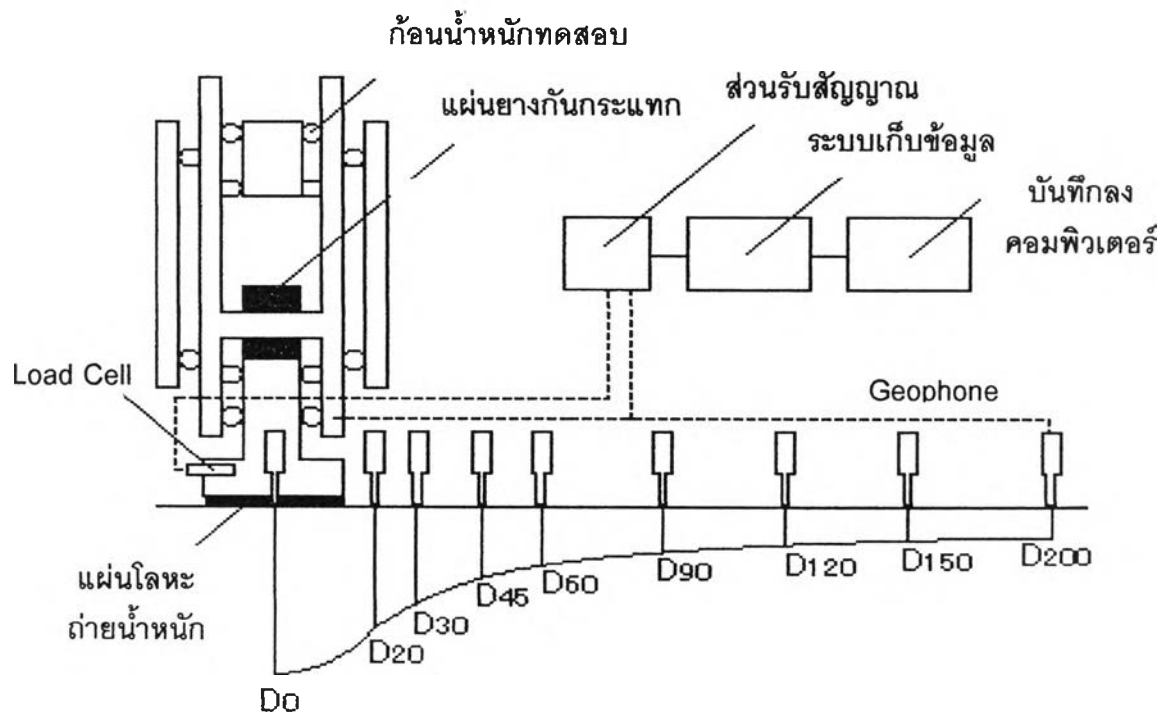
หลังจากกำหนดค่าเริ่มต้นของตัวแปรอิสระให้กับฟังก์ชัน โดยการคำนวณซ้ำตามสม การที่ 3.72 ก็จะสามารถวิเคราะห์หาค่าตอบออกมาได้ในที่สุด

ในการคำนวณย้อนกลับจะนำเอาวิธีหาค่าเหมาะสมที่สุดดังกล่าวกับสมการที่ 3.68 ไปทำการวิเคราะห์ โดยที่ตัวแปรไม่ทราบค่าอาจจะเป็นค่าโมดูลัสเพียงอย่างเดียวหรืออาจเป็น

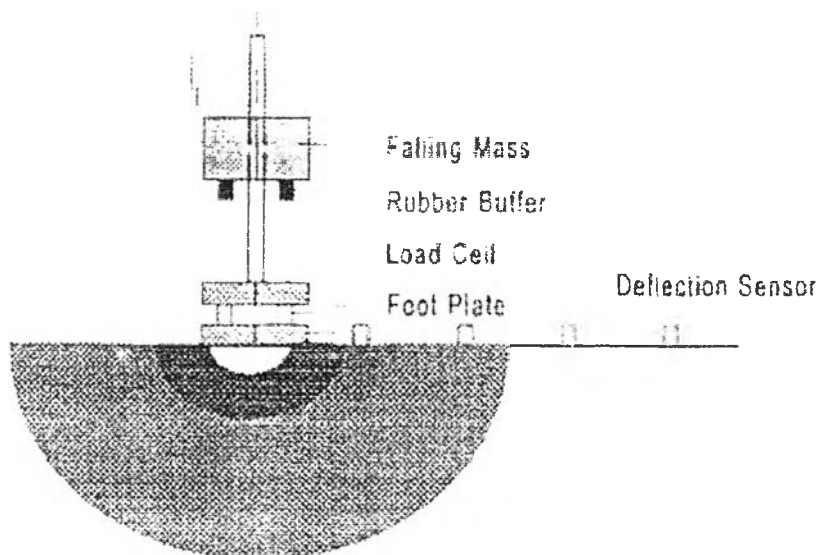
ทั้งคำโมดูลัสและความหนาของชั้นถนนก็ได้ โดยการเขียนเป็นโปรแกรมคอมพิวเตอร์ภาษาฟอร์แทรน ซึ่งมีโปรแกรมย่อยสำหรับการหาค่าเหมาะสมที่สุดคือ BCLSF



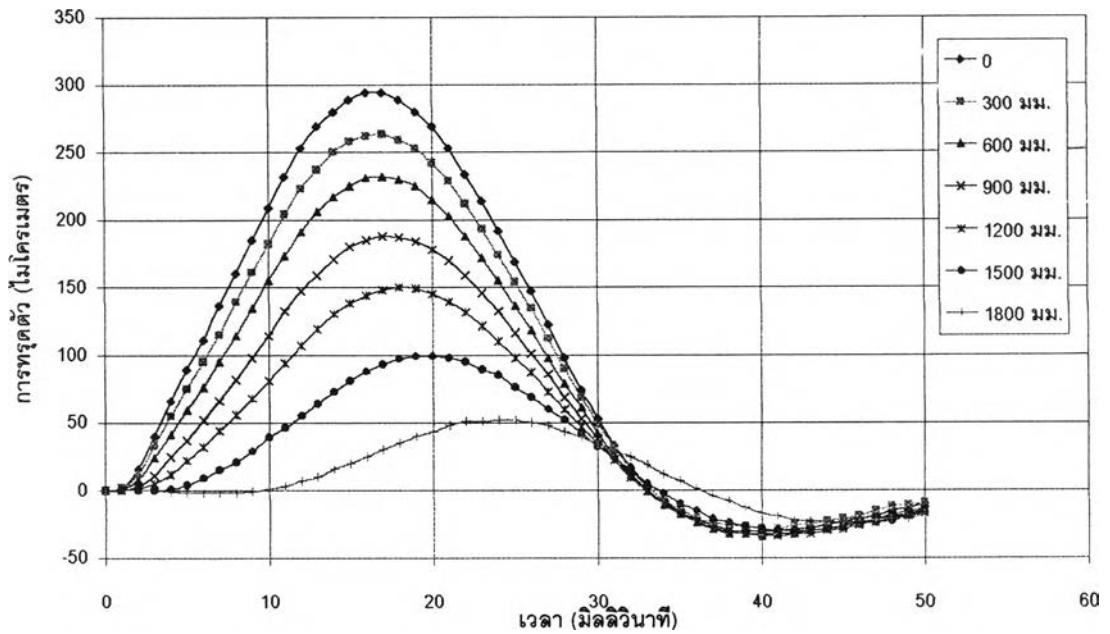
รูปที่ 3.1 รูปแสดงตัวอย่างเครื่อง Falling Weight Deflectometer (FWD)



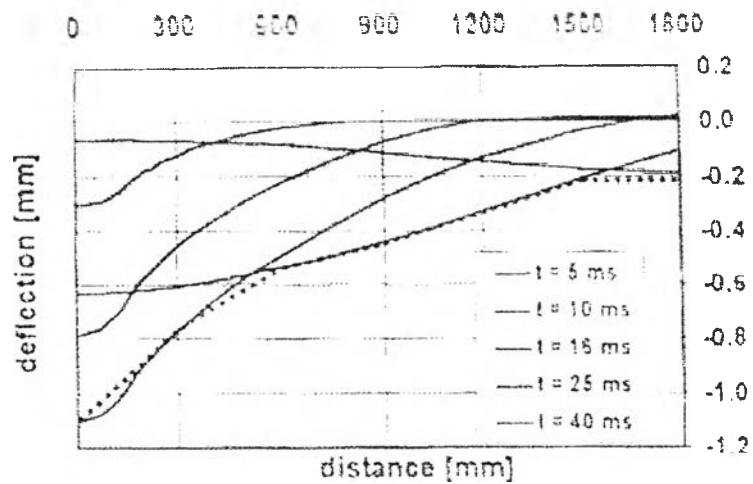
รูปที่ 3.2 รูปแสดงส่วนประกอบที่สำคัญของเครื่อง Falling Weight Deflectometer (FWD)



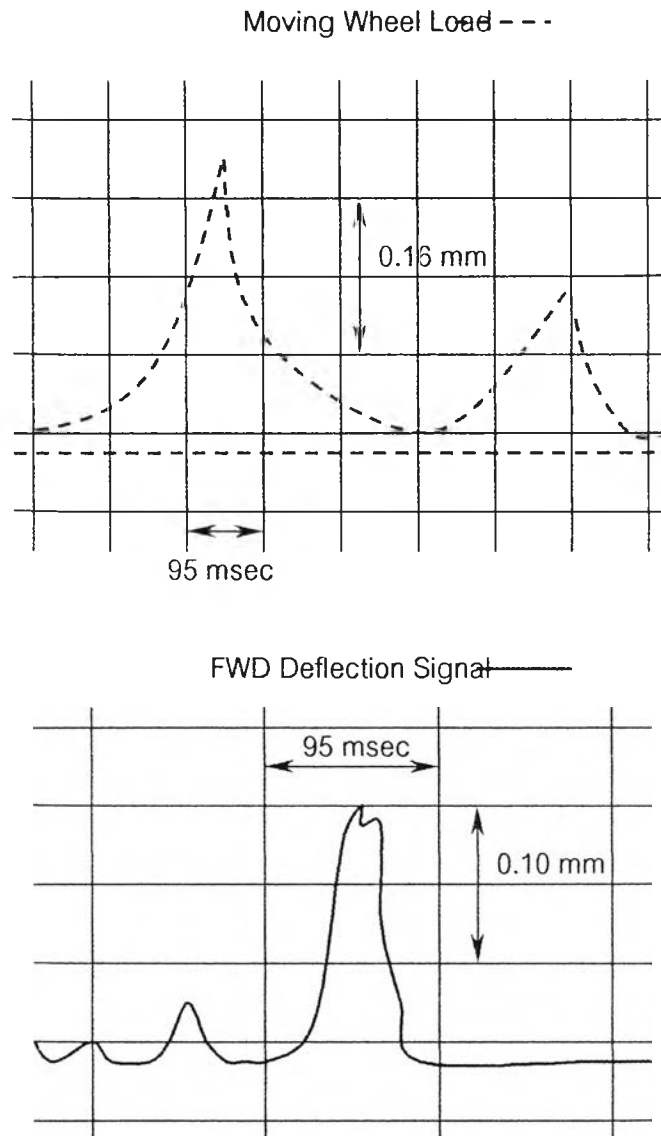
รูปที่ 3.3 ลักษณะการแผ่กระจายของคลื่นพลังงานขณะทำการทดสอบด้วยเครื่อง FWD



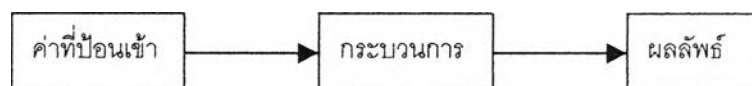
รูปที่ 3.4 ลักษณะทั่วไปของข้อมูลการทรุดตัวที่บันทึกได้ ณ ตำแหน่งต่างๆ จากเครื่อง FWD



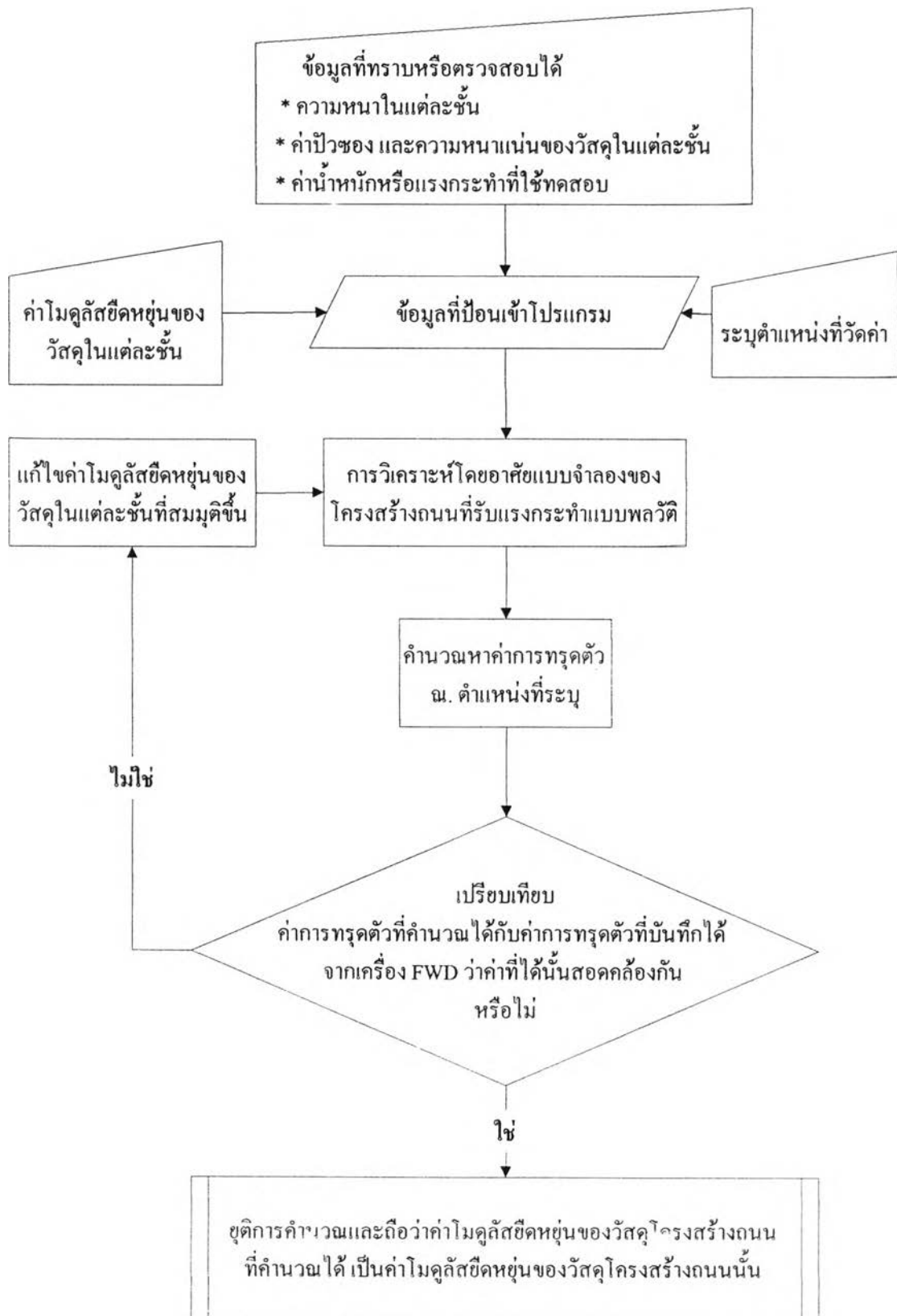
รูปที่ 3.5 ลักษณะการทรุดตัวที่ระยะต่างๆ ในแต่ละเวลาขณะทดสอบด้วยเครื่อง FWD



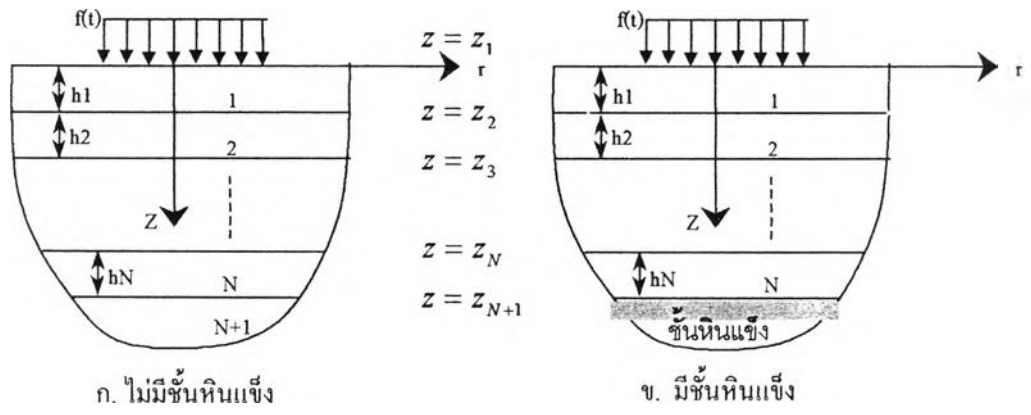
รูปที่ 3.6 ลักษณะสัญญาณค่าการทรุดตัวจากเครื่อง FWD และล้อรถหนักที่สัญจรบนถนนเมื่อพิจารณาเทียบกับเวลา



รูปที่ 3.7 รูปแบบปัญหาการคำนวณย้อนกลับ



รูปที่ 3.8 แผนผังแสดงการคำนวณย้อนกลับเพื่อพิจารณาค่าโมดูลัสยืดหยุ่นของโครงสร้างถนน



รูปที่ 3.9 ภาพแสดงแบบจำลองโครงสร้างถนนหลายชั้น